Microscopia electrónica de transmisión.

Microscopia de un alga roja antes
de formar su pared

Microscopia electrónica de barrido.

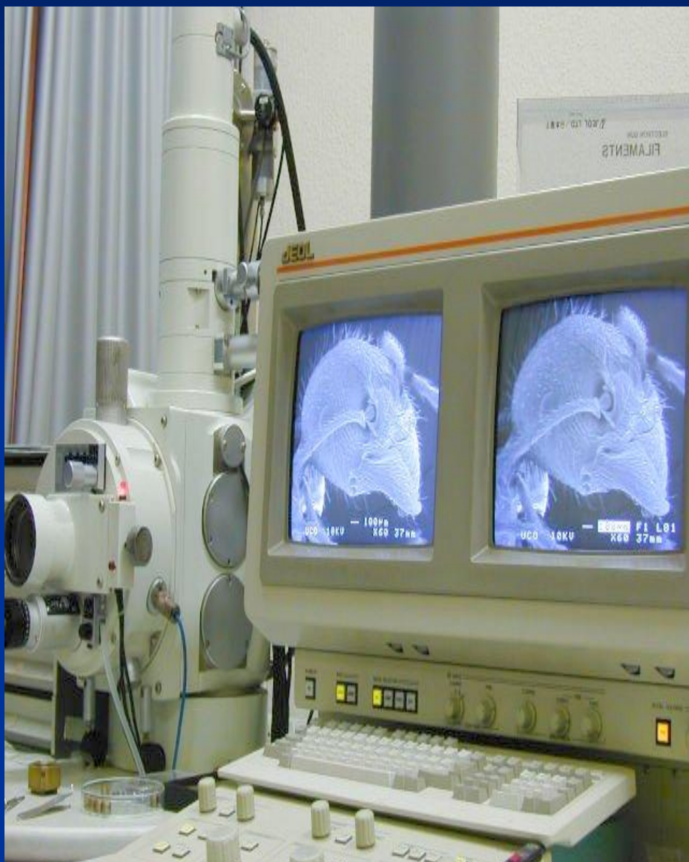

Óvulo de hamster sin zona pelucida con espermatozoides

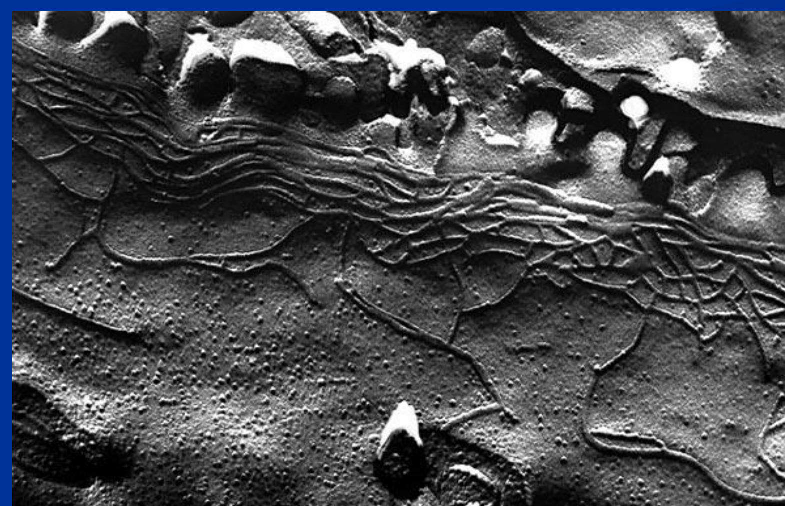

Criofractura de epitelio gástrico vista por microscopia de barrido

Microscopia de fluorescencia.

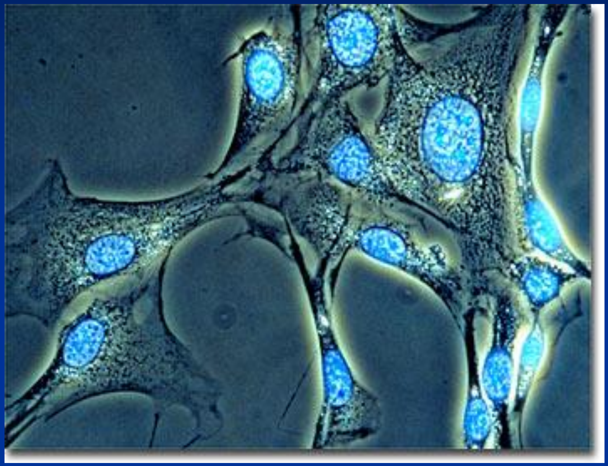

Fibroblastos teñidos con el fluorocromo FITC

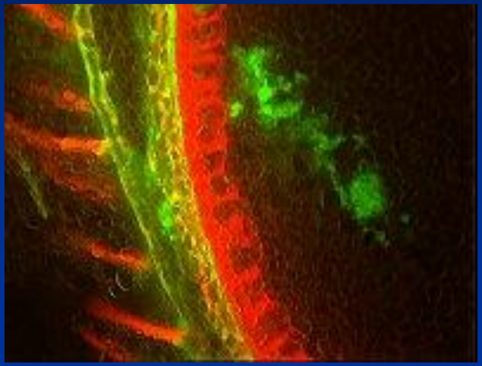

Endosperma siendo colonizada por bacterias

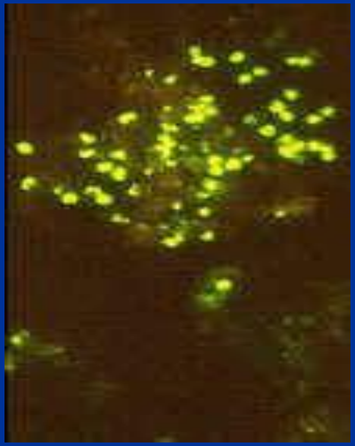

Bacterias en fumarolas marinas adheridas a un cristal de sulfuro

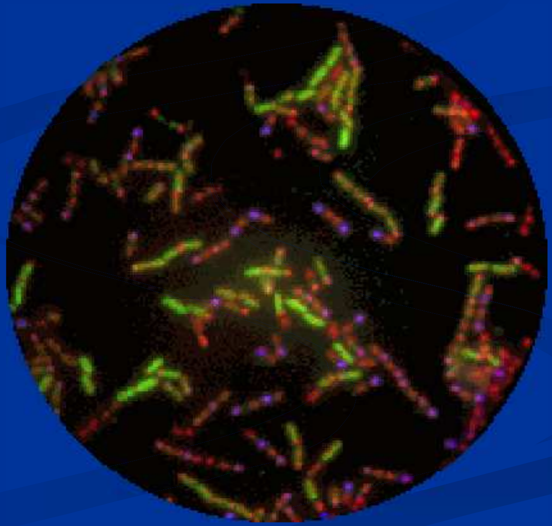

Bacillus subtilis esporulando teñidos con FITC, DAPI y βgalactosidasa.

Microscopia confocal.

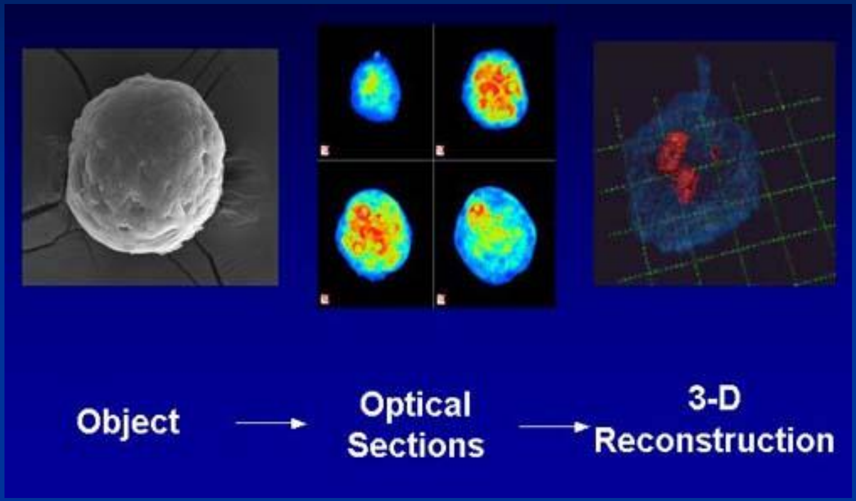

Secuencia de microscopia confocal

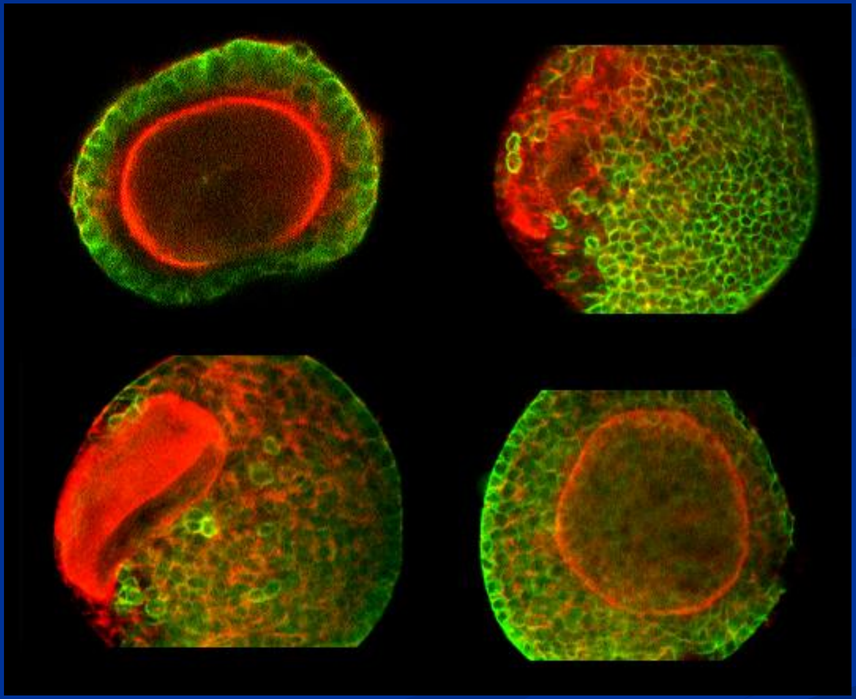

Microscopia confocal de fluorescencia

Fraccionamiento subcelular y centrifugación por gradiente

Fracciones	Contenido	g*min
N	núcleos	600*10min
M	mitocondrias	3000*10min
L	lisosomas	25000* 10min
P	microsomas y membrana	100000* 30min
S	fracción soluble	

Separación de proteínas en gradiente de sacarosa

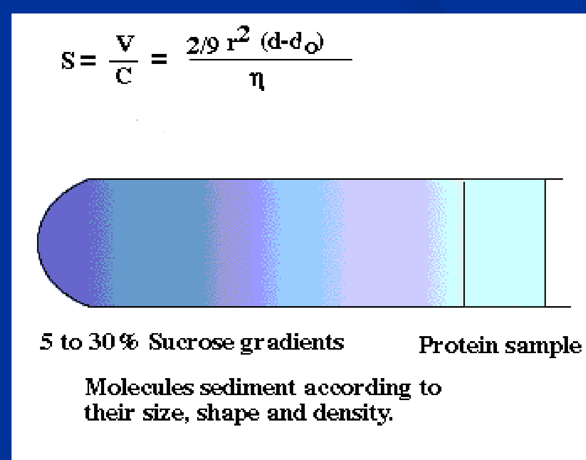

Estudio de biomoléculas

electroforesis de
proteínas

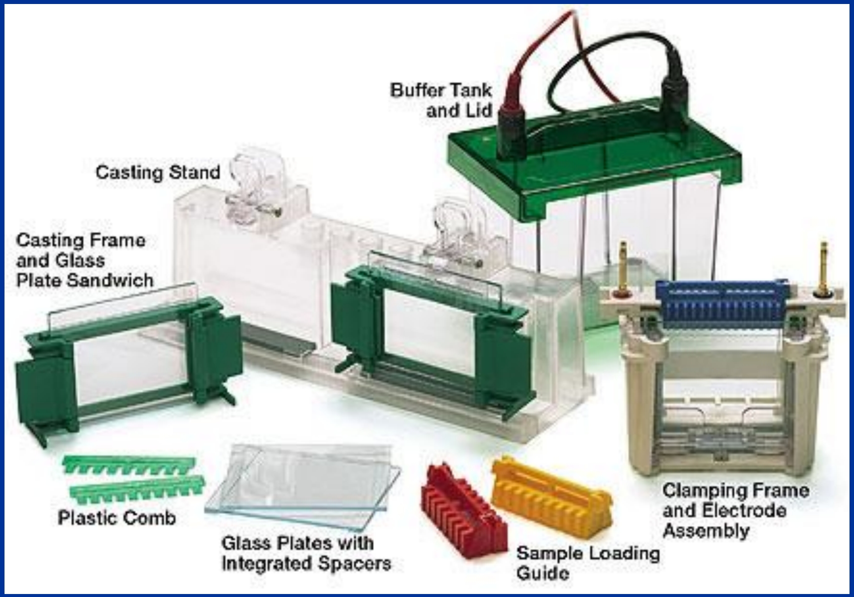

Cámaras de
electroforesis

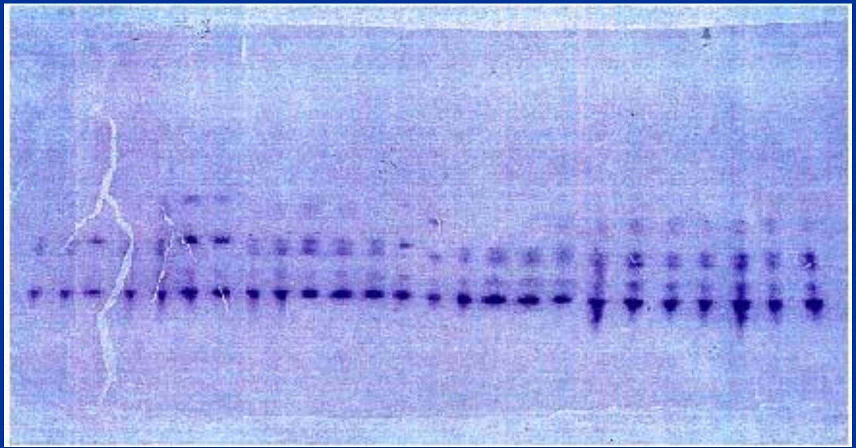

Gel de poliacrilamida teñido con azul
de coomasie

Electroforesis de ADN

Geles de agarosa

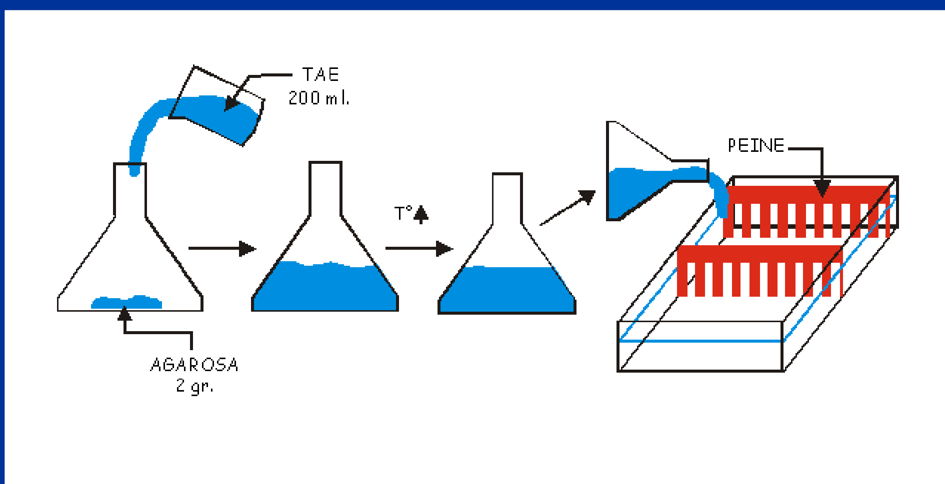

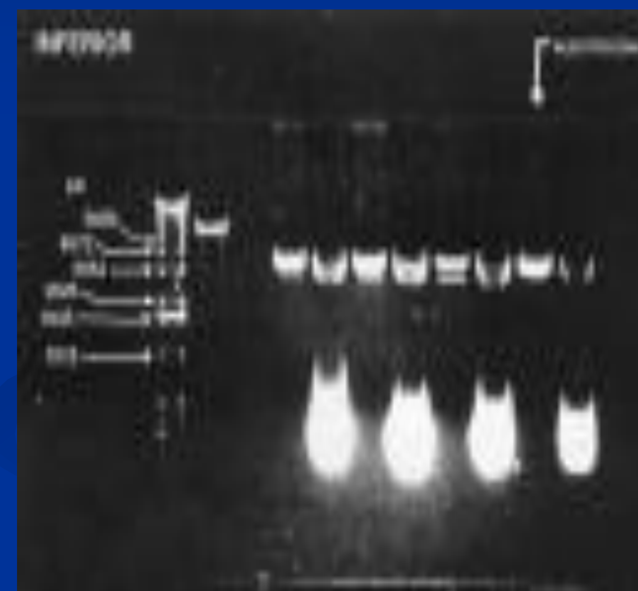

Gel de ADN teñido con bromuro de etidio y visualizado con luz UV